

## 新型P,N-配体的合成及其在钯催化碳-氮键偶联反应中的应用

戴耀<sup>1</sup>, 刘鹤松<sup>2,a</sup>, 冯秀娟<sup>1,b</sup>, 包明<sup>1</sup>

<sup>1</sup>大连理工大学精细化工国家重点实验室, 辽宁大连 116024

<sup>2</sup>吉林大学第一医院皮肤性病科, 吉林长春 130021

**摘要:** 以三苯基膦为母体骨架, 设计合成了在苯环上连有环状仲胺取代基的五种新型P,N-配体(**L1~L5**), 利用核磁共振谱(<sup>1</sup>H,<sup>13</sup>C,<sup>31</sup>P)、红外光谱、高分辨质谱和X射线单晶衍射等对配体进行了表征, 并将它们应用于Pd催化的C-N键偶联反应中。结果表明, 三(2-吗啉基苯基)膦(**L5**)与三(二亚苄基丙酮)二钯(Pd<sub>2</sub>(dba)<sub>3</sub>)组成的体系可有效催化芳基溴代物与仲胺的偶联反应, 当以Pd<sub>2</sub>(dba)<sub>3</sub>(1 mol%)为催化剂前体、**L5**(6 mol%)为配体、叔丁醇钠(1.4 mmol)为碱、甲苯为溶剂时, 溴代芳烃与仲胺的偶联反应在100 °C下可顺利进行, 最高分离收率达到95%。

**关键词:** 脲; 氮-配体; 钯催化; 碳-氮键偶联反应; 芳基溴代物; 仲胺

中图分类号: O643 文献标识码: A

收稿日期: 2011-06-09. 接受日期: 2011-06-28.

<sup>a</sup>通讯联系人. 电话: (0431)88782663; 传真: (0431)85654528; 电子信箱: liuhesong126@126.com

<sup>b</sup>通讯联系人. 电话: (0411)84986181; 传真: (0411)84986180; 电子信箱: fengxiujuan@dlut.edu.cn

基金来源: 国家自然科学基金(21073025).

## Preparation and Application of New P,N-Ligands for Palladium-Catalyzed C–N Bond Coupling Reaction

DAI Yao<sup>1</sup>, LIU Hesong<sup>2,a</sup>, FENG Xiujuan<sup>1,b</sup>, BAO Ming<sup>1</sup>

<sup>1</sup>State Key Laboratory of Fine Chemicals, Dalian University of Technology, Dalian 116024, Liaoning, China

<sup>2</sup>Department of Dermatology and Venereology, The First Hospital of Jilin University, Changchun 130021, Jilin, China

**Abstract:** P,N-ligands (**L1~L5**) with cyclic secondary amine moieties linked to the benzene rings of triphenylphosphine were designed and synthesized for the palladium-catalyzed C–N bond coupling reactions. The structures of these new P,N-ligands were confirmed by <sup>1</sup>H NMR, <sup>13</sup>C NMR, <sup>31</sup>P NMR, infrared, high resolution mass spectroscopy, and X-ray single crystal diffraction. The desired C–N bond coupling products were obtained in good to excellent yields (up to 95%) when the reactions of aryl bromides with secondary amines were performed under the optimized reaction conditions (Pd<sub>2</sub>(dba)<sub>3</sub>, 1 mol%; **L5**, 6 mol%; NaO'Bu, 1.4 mmol; toluene, 2.5 ml; 100 °C).

**Key words:** P,N-ligand; palladium catalysis; C–N bond coupling; aryl bromide; secondary amine

Received 9 June 2011. Accepted 28 June 2011.

<sup>a</sup>Corresponding author. Tel: +86-431-88782663; Fax: +86-431-85654528; E-mail: liuhesong126@126.com

<sup>b</sup>Corresponding author. Tel: +86-411-84986181; Fax: +86-411-84986180; E-mail: fengxiujuan@dlut.edu.cn

This work was supported by the National Natural Science Foundation of China (21073025).

N-取代芳香胺类化合物是一类重要的有机合成中间体, 广泛应用于合成药物和功能材料分子中, 因此, 其高选择性合成是有机合成的重要研究内容之一。在众多合成N-取代芳香胺类化合物的方法中, 过渡金属催化的C–N键形成反应是公认的选择性高

和环境友好的途径, 因而备受关注。目前已开发的催化剂包括Pd<sup>[1~6]</sup>、Cu<sup>[7~21]</sup>、Ni<sup>[22~24]</sup>及Fe<sup>[25,26]</sup>等。对于Pd催化的卤代芳烃与胺类化合物的交叉偶联反应, 以Buchwald和Hartwig为代表的研究者进行了深入系统的研究, 确立了合成N-取代芳香胺类化合物的

有效方法,该类反应被称之为Buchwald-Hartwig交叉偶联反应。在该反应中,通常使用位阻大、供电子能力强的单齿或双齿膦配体,如 $\text{P}(t\text{-Bu})_3$ 、 $\text{PCy}_3$ 、 $t\text{-Butyl-Xphos}^{[5,27]}$ 及 $\text{Dave Phos}^{[5,28\sim 30]}$ 等,可使Pd催化的C–N键形成反应在温和条件下高效完成,但这些配体通常稳定性差或难以简便合成。

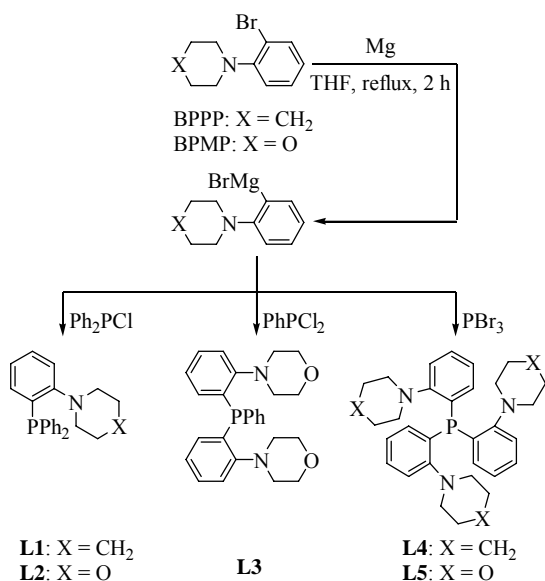
作为芳香烃基膦配体,三苯基膦具有较高的稳定性。因此,本文以三苯基膦为母体骨架结构,设计合成了新型的P,N配体(**L1~L5**,见图式1),并将其应用于钯催化的溴代芳烃与仲胺的交叉偶联反应中。

## 1 实验部分

所有反应均在 $\text{N}_2$ 气氛下于Schlenk瓶中进行。 $1\text{-}(2\text{-溴苯基})\text{哌啶(BPPP)}$ 、 $4\text{-}(2\text{-溴苯基})\text{吗啉(BPMP)}$ 和 $(2\text{-溴苯基})\text{二苯基膦(BDPP)}$ 参照文献[31,32]合成。四氢呋喃(THF)、甲苯及1,4-二氧六环与钠一起回流,二苯甲酮作指示剂, $\text{N}_2$ 保护下蒸入Schlenk瓶备用; $N\text{-甲基吡咯烷酮(NMP)}$ 用无水 $\text{BaO}$ 干燥后,减压蒸入Schlenk瓶,并低温除氧备用。除特别说明以外,其它试剂均为分析纯,未经纯化直接使用。

### 1.1 新型P,N配体合成的一般步骤

配体**L1~L5**的合成路线如图式1所示。以 $(2\text{-哌啶基苯基})\text{二苯基膦(L1)}$ 的合成为例,具体步骤如下。向配有恒压漏斗及冷凝管的100 ml三口瓶中加入Mg屑(267 mg, 11 mmol)后, $\text{N}_2$ 置换三次,再加入两粒



图式1 配体**L1~L5**的合成

Scheme 1. Synthesis of the ligands **L1~L5**.

碘、THF(10 ml)及BPPP(2.64 g, 11 mmol),然后加热至沸腾状态下搅拌2 h。用冰水浴将三口瓶中的反应液冷却至0 °C后,将溶于THF(5 ml)的 $\text{Ph}_2\text{PCl}$ (2.21 g, 10 mmol, 阿拉丁试剂公司)缓慢滴入到三口瓶中,约20 min滴完,于室温搅拌1 h后,加热至沸腾状态下继续搅拌2 h。冷至室温后,加入饱和 $\text{NH}_4\text{Cl}$ 溶液(50 ml)搅拌10 min,再用乙醚萃取(50 ml × 3),合并的有机相用饱和 $\text{NaCl}$ 溶液(50 ml)洗一次,无水 $\text{Na}_2\text{SO}_4$ 干燥,过滤,旋蒸除去溶剂后用无水乙醇重结晶,得到的**L1**为白色粉末状固体(2.28 g, 66%)。<sup>1</sup>H NMR(400 MHz,  $\text{CDCl}_3$ ):  $\delta$  7.32~7.28 (m, 11H), 7.15~7.12 (m, 1H), 7.00 (t,  $J$ =7.4 Hz, 1H), 6.71~6.68 (m, 1H), 2.76~2.75 (m, 4H), 1.36~1.34 (m, 6H); <sup>13</sup>C NMR(101 MHz,  $\text{CDCl}_3$ ):  $\delta$  157.4, 157.2, 138.5, 138.4, 136.8, 136.7, 134.1, 133.9, 133.0, 129.6, 128.33, 128.30, 128.2, 124.8, 121.6, 121.6, 54.1, 26.1, 24.2; <sup>31</sup>P NMR(162 MHz,  $\text{CDCl}_3$ ):  $\delta$  -11.23 (Bruker DPX-400型核磁共振仪,德国); IR(KBr,  $\text{cm}^{-1}$ ): 3051, 2938, 2850, 2797, 1579, 1466, 1433, 1224, 922, 765, 740, 696 (Perkin-Elmer FT-IR 430型红外光谱仪,美国); HRMS(EI) calcd for  $\text{C}_{23}\text{H}_{24}\text{NP}$ : 345.1646 [M]<sup>+</sup>; found: 345.1652 (Micromass GC-TOF MS高分辨质谱仪, EI源, 英国); m.p.: 96~98 °C(X-6型熔点仪,北京泰克仪器公司,使用前未经校正)。

**(2-吗啉基苯基)二苯基膦(L2):**以BPMP(2.66 g, 11 mmol)替换BPPP,重复上述步骤得到**L2**,为白色粉末状固体(1.91 g, 55%)。<sup>1</sup>H NMR(400 MHz,  $\text{CDCl}_3$ ):  $\delta$  7.33~7.30 (m, 11H), 7.17~7.14 (m, 1H), 7.03 (t,  $J$ =7.5 Hz, 1H), 6.75~6.72 (m, 1H), 3.48 (t,  $J$ =4.2 Hz, 4H), 2.80 (t,  $J$ =4.5 Hz, 4H); <sup>13</sup>C NMR(101 MHz,  $\text{CDCl}_3$ ):  $\delta$  155.4, 155.3, 138.0, 137.9, 136.9, 136.9, 134.2, 134.0, 133.2, 129.8, 128.6, 128.4, 128.3, 125.5, 121.8, 121.7, 67.2, 52.8, 52.8; <sup>31</sup>P NMR(162 MHz,  $\text{CDCl}_3$ ):  $\delta$  -3.97; IR(KBr,  $\text{cm}^{-1}$ ): 3052, 2956, 2853, 2814, 1580, 1466, 1433, 1219, 1113, 932, 767, 742, 697; HRMS(EI) calcd for  $\text{C}_{22}\text{H}_{22}\text{NOP}$ : 347.1439 [M]<sup>+</sup>; found: 347.1440; m.p.: 116~118 °C.

**二(2-吗啉基苯基)苯基膦(L3):**以 $\text{PhPCl}_2$ (1.79 g, 10 mmol, 阿拉丁试剂公司)替换 $\text{Ph}_2\text{PCl}$ ,其余步骤同**L1**(镁屑: 535 mg, 22 mmol; BPMP: 5.33 g, 22 mmol; THF: 20 ml),得到**L3**,为白色粉末状固体(2.11 g, 49%)。<sup>1</sup>H NMR(400 MHz,  $\text{CDCl}_3$ ):  $\delta$  7.33~7.31 (m, 7H), 7.17~7.14 (m, 2H), 7.00 (t,  $J$ =7.4 Hz, 2H), 6.70 (d,  $J$ =7.4 Hz, 2H), 3.59~3.52 (m, 8H), 2.92~2.89 (m, 4H),

2.85~2.82 (m, 4H);  $^{13}\text{C}$  NMR (101 MHz,  $\text{CDCl}_3$ ):  $\delta$  155.7, 155.5, 138.8, 138.7, 137.1, 137.0, 134.6, 134.4, 133.6, 129.5, 128.4, 128.3, 128.2, 125.0, 121.1, 67.3, 53.0, 52.9;  $^{31}\text{P}$  NMR (162 MHz,  $\text{CDCl}_3$ ):  $\delta$  -19.69; IR (KBr,  $\text{cm}^{-1}$ ): 3347, 3053, 2957, 2853, 2814, 1580, 1466, 1445, 1371, 1263, 1219, 1113, 932, 919, 847, 768, 735, 699; HRMS (EI) calcd for  $\text{C}_{26}\text{H}_{29}\text{N}_2\text{O}_2\text{P}$ : 432.1967 [ $\text{M}^+$ ]; found: 432.1973; m.p.: 153~154  $^\circ\text{C}$ .

**三(2-哌啶基苯基)膦(L4):** 以  $\text{PBr}_3$  (2.71 g, 10 mmol, 上海国药试剂公司) 替换  $\text{Ph}_2\text{PCl}$  (镁屑: 802 mg, 33 mmol; BPPP: 7.92 g, 33 mmol; THF: 30 ml), 同上法合成 **L4**, 为白色粉末状固体 (2.25 g, 44%).  $^1\text{H}$  NMR (400 MHz,  $\text{CDCl}_3$ ):  $\delta$  7.25~7.21 (m, 3H), 7.08~7.06 (m, 3H), 6.90~6.86 (m, 3H), 6.63~6.61 (m, 3H), 3.12 (s, 6H), 2.58 (s, 6H), 1.58~1.43 (m, 18H);  $^{13}\text{C}$  NMR (101 MHz,  $\text{CDCl}_3$ ):  $\delta$  158.1, 157.9, 138.4, 138.3, 134.2, 128.7, 124.0, 120.1, 120.0, 54.5, 54.4, 26.4, 24.5;  $^{31}\text{P}$  NMR (162 MHz,  $\text{CDCl}_3$ ):  $\delta$  -27.85; IR (KBr,  $\text{cm}^{-1}$ ): 3051, 2932, 2851, 2794, 1579, 1465, 1448, 1437, 1379, 1224, 922, 764, 738; HRMS (EI) calcd for  $\text{C}_{33}\text{H}_{42}\text{N}_3\text{P}$ : 511.3116 [ $\text{M}^+$ ]; found: 511.3122; m.p.: 148~150  $^\circ\text{C}$ .

**三(2-吗啉基苯基)膦(L5):** 以 BPMP (7.99 g, 33 mmol) 替换 BPPP, 其它步骤同 **L4**, 得到 **L5**, 为白色粉末状固体 (2.43 g, 47%).  $^1\text{H}$  NMR (400 MHz,  $\text{CDCl}_3$ ):  $\delta$  7.32~7.28 (m, 3H), 7.15~7.12 (m, 3H), 6.98~6.94 (m, 3H), 6.71~6.68 (m, 3H), 3.61 (s, 12H), 3.15 (s, 6H), 2.69 (s, 6H);  $^{13}\text{C}$  NMR (101 MHz,  $\text{CDCl}_3$ ):  $\delta$  156.1, 155.9, 137.0, 136.9, 134.3, 129.4, 124.8, 120.43, 120.41, 67.4, 53.1;  $^{31}\text{P}$  NMR (162 MHz,  $\text{CDCl}_3$ ):  $\delta$  -19.69; IR (KBr,  $\text{cm}^{-1}$ ): 3051, 2956, 2851, 2812, 1580, 1466, 1444, 1370, 1295, 1253, 1220, 1113, 932, 919, 846, 768, 735; HRMS (EI) calcd for  $\text{C}_{30}\text{H}_{36}\text{N}_3\text{O}_3\text{P}$ : 517.2494 [ $\text{M}^+$ ]; found: 517.2495; m.p.: 242~244  $^\circ\text{C}$ .

## 1.2 芳基溴代物与胺 C-N 偶联反应的一般步骤

以 4-(对甲苯基)吗啉 (**3a**) 的合成为例, 具体操作步骤如下. 向 25 ml Schlenk 瓶中加入对溴甲苯 (**1a**, 171 mg, 1 mmol),  $\text{NaO}'\text{Bu}$  (135 mg, 1.4 mmol),  $\text{Pd}_2(\text{dba})_3$  (9.2 mg, 0.01 mmol) 和 **L5** (31.0 mg, 0.06 mmol), 用  $\text{N}_2$  置换三次后, 加入甲苯 (2.5 ml) 和吗啉 (105 mg, 1.2 mmol). 封闭 Schlenk 瓶, 将其放入已预热至 100  $^\circ\text{C}$  的油浴中, 加热搅拌至反应完全. 冷却至室温后, 加入 20 ml 水, 用乙酸乙酯萃取 (10 ml  $\times$  3), 有机相用无水  $\text{Na}_2\text{SO}_4$  干燥, 过滤除去固体物质, 以  $N,N$ -二甲基对甲基苯胺作为内标, 进行气相色谱分

析 (Agilent 7820 气相色谱仪, HP-5: 30 m  $\times$  0.320 mm  $\times$  0.25  $\mu\text{m}$ , FID 检测器, 采用程序升温, 美国 Hewlett-Packard 公司), 得到气相色谱收率为 95%. 旋蒸除去溶剂, 硅胶柱色谱分离 (洗脱剂为乙酸乙酯: 石油醚 = 1:20), 得到的 **3a** 为白色固体 (163 mg, 分离收率 92%).

**3a:** 白色固体<sup>[33]</sup>.  $^1\text{H}$  NMR (400 MHz,  $\text{CDCl}_3$ ):  $\delta$  7.09 (d,  $J$  = 8.3 Hz, 2H), 6.84 (d,  $J$  = 8.6 Hz, 2H), 3.86 (t,  $J$  = 4.8 Hz, 4H), 3.11 (t,  $J$  = 4.8 Hz, 4H), 2.28 (s, 3H); m.p.: 46~47  $^\circ\text{C}$  (文献值 47~48  $^\circ\text{C}$ )<sup>[33]</sup>.

**1-(对甲苯基)哌啶 (3b):** 黄色液体<sup>[24]</sup>.  $^1\text{H}$  NMR (400 MHz,  $\text{CDCl}_3$ ):  $\delta$  7.05 (d,  $J$  = 8.3 Hz, 2H), 6.86 (d,  $J$  = 8.5 Hz, 2H), 3.09 (t,  $J$  = 5.4 Hz, 4H), 2.26 (s, 3H), 1.72~1.68 (m, 4H), 1.58~1.54 (m, 2H).

***N,N*-二正丁基-4-甲基苯胺 (3c):** 黄色液体<sup>[33]</sup>.  $^1\text{H}$  NMR (400 MHz,  $\text{CDCl}_3$ ):  $\delta$  7.01 (d,  $J$  = 8.5 Hz, 2H), 6.58 (d,  $J$  = 8.6 Hz, 2H), 3.22 (t,  $J$  = 7.6 Hz, 4H), 2.23 (s, 3H), 1.58~1.50 (m, 4H), 1.38~1.29 (m, 4H), 0.94 (t,  $J$  = 7.3 Hz, 6H).

**N-甲基-N-(4-甲基苯基)苯胺 (3d):** 黄色液体<sup>[34]</sup>.  $^1\text{H}$  NMR (400 MHz,  $\text{CDCl}_3$ ):  $\delta$  7.22 (t,  $J$  = 7.9 Hz, 2H), 7.11 (d,  $J$  = 8.2 Hz, 2H), 6.99 (d,  $J$  = 8.3 Hz, 2H), 6.92 (d,  $J$  = 8.1 Hz, 2H), 6.86 (t,  $J$  = 7.3 Hz, 1H), 3.28 (s, 3H), 2.32 (s, 3H).

**N-(4-甲基苯基)二苯胺 (3e):** 白色固体<sup>[34]</sup>.  $^1\text{H}$  NMR (400 MHz,  $\text{CDCl}_3$ ):  $\delta$  7.21 (t,  $J$  = 7.9 Hz, 4H), 7.07~7.04 (m, 6H), 7.01~6.94 (m, 4H), 2.31 (s, 3H); m.p.: 62~63  $^\circ\text{C}$  (文献值 66~67  $^\circ\text{C}$ )<sup>[33]</sup>.

**N-苄基-4-甲基苯胺 (3f):** 黄色液体<sup>[35]</sup>.  $^1\text{H}$  NMR (400 MHz,  $\text{CDCl}_3$ ):  $\delta$  7.38~7.31 (m, 4H), 7.28~7.24 (m, 1H), 6.98 (d,  $J$  = 8.2 Hz, 2H), 6.56 (d,  $J$  = 8.4 Hz, 2H), 4.30 (s, 2H), 3.89 (s, 1H), 2.23 (s, 3H).

**N-(4-甲基苯基)苯胺 (3g):** 白色固体<sup>[34]</sup>.  $^1\text{H}$  NMR (400 MHz,  $\text{CDCl}_3$ ):  $\delta$  7.25~7.21 (m, 2H), 7.08 (d,  $J$  = 8.1 Hz, 2H), 7.01~6.99 (m, 4H), 6.87 (t,  $J$  = 7.3 Hz, 1H), 5.59 (s, 1H), 2.30 (s, 3H); m.p.: 88~89  $^\circ\text{C}$  (文献值 86~87  $^\circ\text{C}$ )<sup>[8]</sup>.

**N-十二烷基-4-甲基苯胺 (3h):** 淡黄色固体<sup>[36]</sup>.  $^1\text{H}$  NMR (400 MHz,  $\text{CDCl}_3$ ):  $\delta$  6.98 (d,  $J$  = 8.1 Hz, 2H), 6.53 (d,  $J$  = 8.4 Hz, 2H), 3.44 (s, 1H), 3.07 (t,  $J$  = 7.1 Hz, 2H), 2.23 (s, 3H), 1.62~1.57 (t,  $J$  = 7.4 Hz, 2H), 1.26 (s, 18H), 0.88 (t,  $J$  = 6.8 Hz, 3H); m.p.: 36~37  $^\circ\text{C}$ .

**4-(4-甲氧基苯基)吗啉 (3k):** 淡黄色固体<sup>[34]</sup>.  $^1\text{H}$  NMR (400 MHz,  $\text{CDCl}_3$ ):  $\delta$  6.90~6.84 (m, 4H), 3.86 (t,

$\delta = 4.7\text{ Hz}, 4\text{H}), 3.77(\text{s}, 3\text{H}), 3.06(\text{t}, J=4.7\text{ Hz}, 4\text{H})$ ; m.p.:  $74\sim75^\circ\text{C}$  (文献值  $73\sim74^\circ\text{C}$ )<sup>[33]</sup>.

4-(4-正丁基苯基)吗啉 (**3l**): 淡黄色固体<sup>[37]</sup>.  $^1\text{H}$  NMR (400 MHz,  $\text{CDCl}_3$ ):  $\delta 7.09(\text{d}, J=8.5\text{ Hz}, 2\text{H}), 6.84(\text{d}, J=8.5\text{ Hz}, 2\text{H}), 3.85(\text{t}, J=4.8\text{ Hz}, 4\text{H}), 3.12(\text{m}, J=4.8\text{ Hz}, 4\text{H}), 2.54(\text{t}, J=7.7\text{ Hz}, 2\text{H}), 1.60\sim1.52(\text{m}, 2\text{H}), 1.39\sim1.29(\text{m}, 2\text{H}), 0.91(\text{t}, J=7.3\text{ Hz}, 3\text{H})$ ; m.p.:  $40\sim41^\circ\text{C}$  (文献值  $39\sim40^\circ\text{C}$ )<sup>[37]</sup>.

4-(2-甲苯基)吗啉 (**3m**): 黄色液体<sup>[34]</sup>.  $^1\text{H}$  NMR (400 MHz,  $\text{CDCl}_3$ ):  $\delta 7.18(\text{t}, J=7.1\text{ Hz}, 2\text{H}), 7.04\sim6.98(\text{m}, 2\text{H}), 3.86(\text{t}, J=4.6\text{ Hz}, 4\text{H}), 2.92(\text{m}, J=4.6\text{ Hz}, 4\text{H}), 2.32(\text{s}, 3\text{H})$ .

4-(4-氟苯基)吗啉 (**3n**): 黄色液体<sup>[38]</sup>.  $^1\text{H}$  NMR (400 MHz,  $\text{CDCl}_3$ ):  $\delta 7.02\sim6.94(\text{m}, 2\text{H}), 6.91\sim6.83(\text{m}, 2\text{H}), 3.86(\text{t}, J=4.8\text{ Hz}, 4\text{H}), 3.08(\text{t}, J=4.8\text{ Hz}, 4\text{H})$ .

## 2 结果与讨论

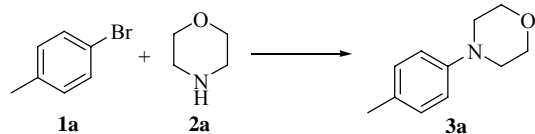
### 2.1 反应条件的优化

本文以 **1a** 与吗啉 (**2a**) 的交叉偶联反应为模型反应, 优化了反应条件, 结果见表 1. 首先, 以

$\text{Pd}_2(\text{dba})_3$  为催化剂前体,  $\text{NaO}'\text{Bu}$  为碱, 甲苯为溶剂, 考察了不同配体对反应性能的影响. 由表可见, 以空间位阻较大的 **L5** 为配体时, 可获得较高的反应转化率和收率, 其中最高值分别为 100% 和 95% (实验 1~5). 然后, 仍以  $\text{Pd}_2(\text{dba})_3$  为催化剂前体, **L5** 为配体, 分别考察了不同溶剂和碱对反应性能的影响. 可以看出, 在所考察的溶剂(甲苯、1,4-二氧六环、*N*-甲基吡咯烷酮)和碱( $\text{NaO}'\text{Bu}$ ,  $\text{K}_3\text{PO}_4$ ,  $\text{Cs}_2\text{CO}_3$ ,  $\text{NaOH}$ )中, 甲苯和  $\text{NaO}'\text{Bu}$  分别是该 C–N 键形成反应的最佳溶剂和碱 (实验 6~10). 另外, 在所考察的 4 种钯源 ( $\text{Pd}_2(\text{dba})_3$ ,  $\text{Pd}(\text{OAc})_2$ ,  $\text{Pd}(\text{acac})_2$ ,  $\text{PdCl}_2$ ) 中, 以  $\text{Pd}_2(\text{dba})_3$  为催化剂前体时, 可获得较高的反应转化率和收率 (实验 5, 11~13). 当配体 **L5** 的用量降为 4 mol% 或 2 mol% 时, 尽管延长反应时间后转化率仍可达 100%, 但反应收率分别降至 90% 和 86% (实验 14 和 15). 将  $\text{Pd}_2(\text{dba})_3$  和 **L5** 的用量分别降至一半 (即使用量分别为 0.5 mol% 和 3 mol%) 时, 虽然仍可得到较高收率, 但反应时间需延长至 10 h (实验 16). 当其他条件不变将反应温度降低为  $80^\circ\text{C}$  时, 反应需 5 h

表 1 C–N 偶联反应的条件优化

Table 1 Optimization of reaction conditions for the C–N coupling reaction



| Entry           | Pd catalyst                 | Ligand    | Solvent | Base                     | Time (h) | Conversion of <b>1a</b> <sup>a</sup> (%) | Yield <sup>b</sup> (%) |
|-----------------|-----------------------------|-----------|---------|--------------------------|----------|--|------------------------|
| 1               | $\text{Pd}_2(\text{dba})_3$ | <b>L1</b> | toluene | $\text{NaO}'\text{Bu}$   | 2        | 75                                       | 66                     |
| 2               | $\text{Pd}_2(\text{dba})_3$ | <b>L2</b> | toluene | $\text{NaO}'\text{Bu}$   | 2        | 100                                      | 85                     |
| 3               | $\text{Pd}_2(\text{dba})_3$ | <b>L3</b> | toluene | $\text{NaO}'\text{Bu}$   | 2        | 100                                      | 89                     |
| 4               | $\text{Pd}_2(\text{dba})_3$ | <b>L4</b> | toluene | $\text{NaO}'\text{Bu}$   | 2        | 81                                       | 70                     |
| 5               | $\text{Pd}_2(\text{dba})_3$ | <b>L5</b> | toluene | $\text{NaO}'\text{Bu}$   | 2        | 100                                      | 95 (92) <sup>c</sup>   |
| 6               | $\text{Pd}_2(\text{dba})_3$ | <b>L5</b> | dioxane | $\text{NaO}'\text{Bu}$   | 2        | 83                                       | 62                     |
| 7               | $\text{Pd}_2(\text{dba})_3$ | <b>L5</b> | NMP     | $\text{NaO}'\text{Bu}$   | 2        | 50                                       | 16                     |
| 8               | $\text{Pd}_2(\text{dba})_3$ | <b>L5</b> | toluene | $\text{K}_3\text{PO}_4$  | 4        | 22                                       | 14                     |
| 9               | $\text{Pd}_2(\text{dba})_3$ | <b>L5</b> | toluene | $\text{Cs}_2\text{CO}_3$ | 4        | 7  | 2                      |
| 10              | $\text{Pd}_2(\text{dba})_3$ | <b>L5</b> | toluene | $\text{NaOH}$            | 4        | 22                                       | 18                     |
| 11              | $\text{Pd}(\text{OAc})_2$   | <b>L5</b> | toluene | $\text{NaO}'\text{Bu}$   | 2        | 71                                       | 54                     |
| 12              | $\text{Pd}(\text{acac})_2$  | <b>L5</b> | toluene | $\text{NaO}'\text{Bu}$   | 2        | 100                                      | 76                     |
| 13              | $\text{PdCl}_2$             | <b>L5</b> | toluene | $\text{NaO}'\text{Bu}$   | 2        | 57                                       | 44                     |
| 14 <sup>d</sup> | $\text{Pd}_2(\text{dba})_3$ | <b>L5</b> | toluene | $\text{NaO}'\text{Bu}$   | 3        | 100                                      | 90                     |
| 15 <sup>e</sup> | $\text{Pd}_2(\text{dba})_3$ | <b>L5</b> | toluene | $\text{NaO}'\text{Bu}$   | 6        | 100                                      | 86                     |
| 16 <sup>f</sup> | $\text{Pd}_2(\text{dba})_3$ | <b>L5</b> | toluene | $\text{NaO}'\text{Bu}$   | 10       | 100                                      | 90                     |
| 17 <sup>g</sup> | $\text{Pd}_2(\text{dba})_3$ | <b>L5</b> | toluene | $\text{NaO}'\text{Bu}$   | 5        | 100                                      | 95                     |

Unless otherwise noted, reactions were carried out in solvent (2.5 ml) under  $\text{N}_2$  at  $100^\circ\text{C}$  with 1-bromo-4-methylbenzene (**1a**, 1 mmol), morpholine (**2a**, 1.2 mmol), base (1.4 mmol), and ligand (6 mol%) in the presence of Pd catalyst ( $\text{Pd}_2(\text{dba})_3$ , 1 mol%;  $\text{Pd}(\text{OAc})_2$ ,  $\text{Pd}(\text{acac})_2$ , and  $\text{PdCl}_2$ , 2 mol%, respectively). <sup>a</sup>Determined by GC analysis. <sup>b</sup>Determined by GC analysis with *N,N*-dimethyl-4-methylaniline as internal standard and comparison with an authentic sample of the product. <sup>c</sup>Isolated yield. <sup>d</sup>**L5** (4 mol%). <sup>e</sup>**L5** (2 mol%). <sup>f</sup> $\text{Pd}_2(\text{dba})_3$  (0.5 mol%), **L5** (3 mol%). <sup>g</sup>At  $80^\circ\text{C}$ . NMP—*N*-methylpyrrolidone.

才能完成(实验 17).

综上可见,适宜反应条件为: 钯催化剂前体为  $\text{Pd}_2(\text{dba})_3$  (1 mol%), 酰配体为 **L5** (6 mol%), 碱为  $\text{NaO}^\prime\text{Bu}$  (1.4 mmol), 溶剂为甲苯 (2.5 ml), 反应温度为 100 °C, **1a** (1 mmol), **2a** (1.2 mmol).

## 2.2 芳基溴代物和胺的 C–N 偶联反应

在最佳反应条件下,考察了不同溴代芳烃与胺的交叉偶联反应,结果见表 2. 可以看出,结构相似的脂肪族环状胺吗啉 (**2a**) 或哌啶 (**2b**) 与对甲基溴苯 (**1a**) 的反应均可在 2 h 内完成, 反应收率分别为 92%

和 91% (实验 1 和 2). 当使用脂肪族非环状仲胺二正丁胺 (**2c**) 时, 则需 3 h 才能将原料完全转化, 收率也有所降低, 为 84% (实验 3). 而使用带有苯基取代基的仲胺 *N*-甲基苯胺 (**2d**) 和二苯胺 (**2e**) 时, 则需要更长的时间才能使溴代物完全转化, 特别是后者, 反应时间长达 24 h, 但反应收率均高达 90% (实验 4 和 5). 然而, 作为伯胺的苄胺 (**2f**)、苯胺 (**2g**) 及正十二胺 (**2h**) 与 **1a** 反应, 即使搅拌 36 h 后, 收率仅分别为 55%, 21% 和 34% (实验 6~8). 搅拌处理 L-脯氨酸 (**2i**) 及吡咯 (**2j**) 与 **1a** 的反应混合物 30 h 后, 仍未检测到目标

**表 2**  $\text{Pd}_2(\text{dba})_3/\text{L5}$  催化芳基溴代物与胺的 C–N 键偶联反应  
**Table 2** C–N coupling reactions between aryl bromides and amines catalyzed by  $\text{Pd}_2(\text{dba})_3/\text{L5}$

| Entry           | Aryl bromide |           | Amine |           | Product | Time (h)  | Yield <sup>a</sup> (%) |                   |
|-----------------|--------------|-----------|-------|-----------|---------|-----------|------------------------|-------------------|
| 1               |              | <b>1a</b> |       | <b>2a</b> |         | <b>3a</b> | 2                      | 92                |
| 2               |              | <b>1a</b> |       | <b>2b</b> |         | <b>3b</b> | 2                      | 91                |
| 3               |              | <b>1a</b> |       | <b>2c</b> |         | <b>3c</b> | 3                      | 84                |
| 4               |              | <b>1a</b> |       | <b>2d</b> |         | <b>3d</b> | 6                      | 90                |
| 5               |              | <b>1a</b> |       | <b>2e</b> |         | <b>3e</b> | 24                     | 90                |
| 6 <sup>b</sup>  |              | <b>1a</b> |       | <b>2f</b> |         | <b>3f</b> | 36                     | 55                |
| 7 <sup>c</sup>  |              | <b>1a</b> |       | <b>2g</b> |         | <b>3g</b> | 36                     | 21                |
| 8 <sup>d</sup>  |              | <b>1a</b> |       | <b>2h</b> |         | <b>3h</b> | 36                     | 34                |
| 9               |              | <b>1a</b> |       | <b>2i</b> |         | <b>3i</b> | 18                     | N.R. <sup>e</sup> |
| 10              |              | <b>1a</b> |       | <b>2j</b> |         | <b>3j</b> | 30                     | N.R. <sup>e</sup> |
| 11              |              | <b>1b</b> |       | <b>2a</b> |         | <b>3k</b> | 3                      | 92                |
| 12              |              | <b>1c</b> |       | <b>2a</b> |         | <b>3l</b> | 3                      | 90                |
| 13              |              | <b>1d</b> |       | <b>2a</b> |         | <b>3m</b> | 12                     | 92                |
| 14              |              | <b>1e</b> |       | <b>2a</b> |         | <b>L2</b> | 24                     | 95                |
| 15              |              | <b>1e</b> |       | <b>2b</b> |         | <b>L1</b> | 24                     | 92                |
| 16              |              | <b>1f</b> |       | <b>2a</b> |         | <b>3n</b> | 24                     | 86                |
| 17              |              | <b>1g</b> |       | <b>2a</b> |         | <b>3a</b> | 14                     | N.R. <sup>e</sup> |
| 18 <sup>f</sup> |              | <b>1g</b> |       | <b>2a</b> |         | <b>3a</b> | 10                     | trace             |

Reaction conditions: aryl bromide (1 mmol), amine (1.2 mmol),  $\text{NaO}^\prime\text{Bu}$  (1.4 mmol),  $\text{Pd}_2(\text{dba})_3$  (1 mol%), **L5** (6 mol%), 2.5 ml toluene, 100 °C. <sup>a</sup>Isolated yield. <sup>b</sup>The conversion of **1a** was 60%. <sup>c</sup>The conversion of **1a** was 22%. <sup>d</sup>The conversion of **1a** was 41%. <sup>e</sup>No reaction. <sup>f</sup>At 120 °C.

产物 **3i** 及 **3j** 的生成(实验 9 和 10)。由此可见,  $\text{Pd}_2(\text{dba})_3/\text{L5}$  催化体系对于不同种类仲胺的反应, 均表现出较高的催化活性, 而对于伯胺、氨基酸及含氮芳杂环吡咯的反应, 则催化活性较低或没有活性。

本文还考察了不同的溴代芳烃与吗啉的交叉偶联反应。可以看出, 当以对甲氧基溴苯(**1b**)或对正丁基溴苯(**1c**)为底物时, 虽然需要稍长的反应时间(3 h), 但反应收率分别达 92% 和 90%(实验 11 和 12)。邻位基团的引入降低了溴代芳烃的反应活性, 而且大的邻位基团影响较大。如邻甲基溴苯(**1d**)和邻溴苯基二苯基膦(**1e**)与吗啉的反应, 分别需要 12 和 24 h 才能完成, 反应收率分别为 92% 和 95%(实验 13 和 14)。**1e** 与哌啶反应 24 h 后, 反应收率也高达 92%(实验 15)。由此可见, **1e** 分别与哌啶和吗啉的反应是合成配体 **L1** 和 **L2** 的另一条有效途径。含氟底物对氟溴苯(**1f**)也表现出较好的反应活性, 收率为 86%(**3n**, 实验 16)。鉴于溴代底物在该反应体系中表现出良好的反应活性, 本文考察了对甲基氯苯(**1g**)与吗啉的反应。然而, 在最佳反应条件下, 反应混合物搅拌处理 14 h 后, 未观察到产物 **3a** 的生成, 即使将反应温度升至 120 °C, 也仅能生成痕量的产物(实验 17 和 18)。

### 2.3 配体 **L2**, **L3** 和 **L5** 的单晶结构

分别由 **L2**, **L3** 和 **L5** 的乙醇溶液经缓慢挥发得到适于测定单晶结构的晶体。使用 Bruker 公司 Smart APEX II 型 X 射线单晶衍射仪进行测试, 晶体结构采用 SHELXTL 97 程序由直接法解出。晶体结构如图 1 所示, 主要的键长及键角数据列于表 3。晶体结构数据已在 2010 年 3 月 11 上传至剑桥晶体数据库, 晶体结构数据可从剑桥晶体数据中心通过 [www.ccdc.cam.ac.uk/data\\_request/cif](http://www.ccdc.cam.ac.uk/data_request/cif) 地址免费下载。剑桥晶体数据库编号为: **L2** (769048), **L3** (769049), **L5** (769050)。**L2**, **L3** 和 **L5** 三种膦配体中 P 原子采用三角锥体的空间几何构型, 周围的芳基基团呈一种扭曲的螺旋桨叶片形状分布。可能是由于空间位阻效应的影响, 芳环上吗啉取代基采取远离三角锥体的分布方式。**L5** 中 P–C 键的平均键长为 0.1846 nm, 大于 **L2** 的 0.1834 nm 和 **L3** 的 0.1836 nm。这表明 **L5** 的分子内空间位阻效应强于 **L2** 和 **L3**。另外, **L5** 中 C–P–C 键角平均值小于 **L2** 和 **L3** 的, 也表明 **L5** 具有较大的空间位阻效应。因此我们认为, 配体 **L5** 较大的空间位阻效应使其有利于钯催化 C–N 偶联反应的进行。

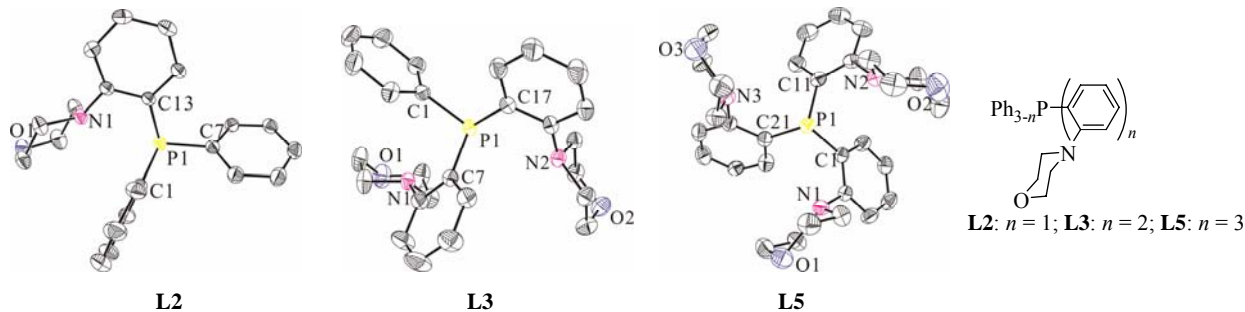


图 1 配体 **L2**, **L3** 和 **L5** 的单晶结构图

**Fig. 1.** Single crystal structures of **L2**, **L3**, and **L5** at 30% probability level. Hydrogen atoms are omitted for clarity.

表 3 **L2**, **L3** 和 **L5** 的主要键长键角数据

Table 3 Selected bond lengths (nm) and angles (°) for **L2**, **L3**, and **L5**

| <b>L2</b>      |           | <b>L3</b>      |           | <b>L5</b>      |           |
|----------------|-----------|----------------|-----------|----------------|-----------|
| Parameter      | Value     | Parameter      | Value     | Parameter      | Value     |
| P1–C1          | 0.1826(2) | P1–C1          | 0.1834(2) | P1–C1          | 0.1842(2) |
| P1–C7          | 0.1835(2) | P1–C7          | 0.1835(2) | P1–C11         | 0.1848(2) |
| P1–C13         | 0.1840(2) | P1–C17         | 0.1839(2) | P1–C21         | 0.1847(2) |
| Average P1–C   | 0.1834    | Average P1–C   | 0.1836    | Average P1–C   | 0.1846    |
| ∠C1–P1–C7      | 103.20(9) | ∠C1–P1–C7      | 101.39(9) | ∠C1–P1–C11     | 99.7(1)   |
| ∠C1–P1–C13     | 102.74(9) | ∠C1–P1–C17     | 101.9(1)  | ∠C1–P1–C21     | 99.1(1)   |
| ∠C7–P1–C13     | 101.14(8) | ∠C7–P1–C17     | 100.29(9) | ∠C11–P1–C21    | 100.9(1)  |
| Average ∠C–P–C | 102.36    | Average ∠C–P–C | 101.19    | Average ∠C–P–C | 99.9      |

The numbers in parentheses are estimated standard deviations.

### 3 结论

设计合成了一类新型 P, N-配体 **L1~L5**, 其中 **L5** 与  $Pd_2(dbu)_3$  组成的催化体系表现出最佳的催化活性, 能够有效催化溴代芳烃与各种仲胺的偶联反应。该类膦配体具有合成方法简便、空气中相对稳定的优点, 但是对于其他种类的胺及芳基氯代物的偶联反应, 其活性有待进一步提高。

### 参 考 文 献

- 1 Muci A R, Buchwald S L. *Top Curr Chem*, 2002, **219**: 131
- 2 Kantchev E A B, O'Brien C J, Organ M G. *Angew Chem, Int Ed*, 2007, **46**: 2768
- 3 Aubin Y, Fischmeister C, Thomas C M, Renaud J L. *Chem Soc Rev*, 2010, **39**: 4130
- 4 Lundgren R J, Stradiotto M. *Angew Chem, Int Ed*, 2010, **49**: 8686
- 5 Surry D S, Buchwald S L. *Chem Sci*, 2011, **2**: 27
- 6 Maiti D, Fors B P, Henderson J L, Nakamura Y, Buchwald S L. *Chem Sci*, 2011, **2**: 57
- 7 Ley S V, Thomas A W. *Angew Chem, Int Ed*, 2003, **42**: 5400
- 8 Zhang H, Cai Q, Ma D W. *J Org Chem*, 2005, **70**: 5164
- 9 Rao H H, Fu H, Jiang Y Y, Zhao Y F. *J Org Chem*, 2005, **70**: 8107
- 10 Zhang Z J, Mao J C, Zhu D, Wu F, Chen H L, Wan B S. *Tetrahedron*, 2006, **62**: 4435
- 11 Liu Y F, Bai Y J, Zhang J, Li Y Y, Jiao J P, Qi X L. *Eur J Org Chem*, 2007: 6084
- 12 Altman R A, Buchwald S L. *Org Lett*, 2007, **9**: 643
- 13 Cheng D P, Gan F F, Qian W X, Bao W L. *Green Chem*, 2008, **10**: 171
- 14 Wang H F, Li Y M, Sun F F, Feng Y, Jin K, Wang X N. *J Org Chem*, 2008, **73**: 8639
- 15 Xi Z X, Liu F H, Zhou Y B, Chen W Z. *Tetrahedron*, 2008, **64**: 4254
- 16 Tao C Z, Li J, Fu Y, Liu L, Guo Q X. *Tetrahedron Lett*, 2008, **49**: 70
- 17 Monnier F, Taillefer M. *Angew Chem, Int Ed*, 2009, **48**: 6954
- 18 Das P, Sharma D, Kumar M, Singh B. *Curr Org Chem*, 2010, **14**: 754
- 19 Meng F, Zhu X H, Li Y, Xie J W, Wang B, Yao J H, Wan Y Q. *Eur J Org Chem*, 2010: 6149
- 20 Li L Y, Zhu L, Chen D G, Hu X L, Wang R H. *Eur J Org Chem*, 2011: 2692
- 21 Huang Y B, Yang C T, Yi J, Deng X J, Fu Y, Liu L. *J Org Chem*, 2011, **76**: 800
- 22 Desmarests C, Schneider R, Fort Y. *J Org Chem*, 2002, **67**: 3029
- 23 Liu C, Shen D M, Chen Q Y. *J Org Chem*, 2007, **72**: 2732
- 24 Manolikakes G, Gavryushin A, Knochel P. *J Org Chem*, 2008, **73**: 1429
- 25 Taillefer M, Xia N, Ouali A. *Angew Chem, Int Ed*, 2007, **46**: 934
- 26 Correa A, Bolm C. *Angew Chem, Int Ed*, 2007, **46**: 8862
- 27 Anderson K W, Tundel R E, Ikawa T, Altman R A, Buchwald S L. *Angew Chem, Int Ed*, 2006, **45**: 6523
- 28 Old D W, Wolfe J P, Buchwald S L. *J Am Chem Soc*, 1998, **120**: 9722
- 29 Old D W, Harris M C, Buchwald S L. *Org Lett*, 2000, **2**: 1403
- 30 Anderson K W, Mendez-Perez M, Priego J, Buchwald S L. *J Org Chem*, 2003, **68**: 9563
- 31 Verboom W, Reinhoudt D N, Visser R, Harkema S. *J Org Chem*, 1984, **49**: 269
- 32 Whited M T, Rivard E, Peters J C. *Chem Commun*, 2006: 1613
- 33 Wolfe J P, Tomori H, Sadighi J P, Yin J J, Buchwald S L. *J Org Chem*, 2000, **65**: 1158
- 34 Kuwano R, Utsunomiya M, Hartwig J F. *J Org Chem*, 2002, **67**: 6479
- 35 Yang C T, Fu Y, Huang Y B, Yi J, Guo Q X, Liu L. *Angew Chem, Int Ed*, 2009, **48**: 7398
- 36 Basu B, Paul S, Nanda A K. *Green Chem*, 2009, **11**: 1115
- 37 Huang X H, Anderson K W, Zim D, Jiang L, Klapars A, Buchwald S L. *J Am Chem Soc*, 2003, **125**: 6653
- 38 Berman A M, Johnson J S. *J Org Chem*, 2005, **70**: 364